文章编号: 1004-1656(2008)02-0188-05

介孔复合材料 C_2 H_5 - MCM - 41的制备及在 水样痕量芘测定中的作用

刘 妍,杨富巍,赵素瑞,白冰峰,王小芳 (天水师范学院生化学院,甘肃 天水 741000)

关键词:介孔材料; C₂H₅-MCM-41;固相微萃;高效液相色谱;芘

中图分类号: O657. 72文献标识码: A

20世纪 90年代初,美孚公司的研究者们用烷 基季铵盐阳离子表面活性剂作模板剂,在碱性条 件下合成出一类具有有序排列孔道,孔径分布窄 且孔径在 1.5-10m 之间可调的介孔分子筛 M41S^[1]。由于介孔材料具有比表面积大,热稳定 性高,并且表面有许多端羟基,可用来固定活性基 团等优点,在石油化工和环保等方面具有广泛的 潜在应用价值[2-4]。固相微萃取(solid - phase microextraction, SPME)[5-9]是一种集采样、萃取和 富集于一体的新的样品前处理方法,固相微萃取 技术具有操作简单,快速,不需有机溶剂,样品用 量少.灵敏度高的特点。芘是普遍存在于各种水 体中的半挥发有机物,具有致癌,致畸和致突变 性[10],因而是环境水质优先监测的对象。由于芘 在水中含量低,分析前通常需要对水样进行分离、 富集等预处理。

在本实验中我们采用分步合成法 [11,12],以 ETTS为偶联剂,对之进行了乙基化修饰,并将产物无机-有机复合介孔材料 C_2H_5 -MCM-41作为固相微萃取萃取头涂层,与 HPLC联用,测定环境水样中痕量芘。对萃取条件及 HPLC分析条件进行了优化,建立了环境水样中痕量芘的测定方法,将之用于雨水,渭河水等实际水样的检测,结果令人满意。

1 实验部分

1.1 仪器与试剂

Advance X衍射仪; ASAP 2400型自动比表面积和空隙率测定仪; Nicolet 205型红外光谱仪, PERKN - ELMER 2400 CHN元素分析仪; 雷磁PHS - 3C精密PH计; LC - 6A高效液相色谱,带紫外 - 可见检测器(日本岛津公司)配备N - 2000(浙江大学)色谱工作站; CQ250超声仪(上海超声仪器厂)。

十六烷基三甲基溴化铵 (CTAB,中国医药上海化学试剂公司),正硅酸乙酯 (TEOS,上海试剂总厂),盐酸 (36%甘肃长新化学试剂厂), ETTS (即乙基三乙氧基硅烷,其分子式为 CH₃CH₂Si (OC₂H₅)₃,天津市化学试剂一厂),甲苯 (天津化学试剂二厂)和丙酮 (天津化学试剂二厂),芘 (美国 Aldrich公司),甲醇 (天津化学试剂厂)等均为分析纯。

1. 2 介孔分子筛 MCM - 41的合成

以十六烷基三甲基溴化铵 (CTAB)表面活性剂为模板剂在酸性条件下合成 MCM - 41介孔分子筛 ^[8]。将 5.0 g十六烷基三甲基溴化铵 (CTAB)超声溶于 188.0 mL二次水中,加入 62 0mL盐酸,然后在搅拌下缓慢地逐滴加入正硅酸乙酯 (TEOS) 18.0mL,继续搅拌反应 2h,最后在室温静置老化 3h。反应结束后,产物用砂芯漏斗抽滤,再用去离子水洗涤至中性,室温干燥后转移至坩埚于 100 真空干燥 12h。然后在高温燃烧管式炉中焙烧脱膜,具体为氮气保护下从室温以1 /min的速度升温至 550 ,再于此温度下空气中焙烧 6h,得到产物 MCM - 41。

收稿日期: 2007-07-09;修回日期: 2007-10-28

基金项目:天水师范学院科学研究基金(X3-01)资助项目

联系人简介:刘妍 (1977-),女,研究生,讲师,研究方向:主要从事功能材料,分离科学等方面的研究。 Emai: liuyan 197710@126.com

先将介孔分子筛 MCM - 41用 0. lmol/L的 HCI室温浸泡活化 24h,过滤、洗涤,在 80 下真空干燥 8h备用。取 0. 8g活化后的介孔分子筛 MCM - 41于 250mL圆底烧瓶中,加入体积为 10ml的甲苯 (新蒸)和 10mL的 ETTS,超声 10min,然后在油浴中 120 下磁力搅拌回流 8h,反应结束后,用砂漏斗抽滤,分别用 100mL甲苯和 100mL丙酮各洗涤三次,除去未反应及机械吸附在介孔分子筛 MCM - 41孔道中的 ETTS,再经过 120 真空干燥 12h,即得白色粉末产物 C₂H₅ - MCM - 41。

1.3 介孔涂层金属萃取头的制作

SPME萃取装置由 1μ L微量注射器改装而成。将 1μ L微量注射器内芯不锈钢丝(150μ m a d)用乙醇超声清洗 10min,在 60 干燥 15min。然后将本实验室合成的介孔复合材料 C_2H_5 - MCM - 41用高温环氧胶粘到金属丝上,长度 1 cm,厚度 1μ m,先在 70 预热 30min,然后在氮气保护下 250 下加热 5h 老化,得到介孔涂层萃取头。萃取头涂层厚度用电子显微镜观测(XSP - 18B,南京)。

1.4 萃取和解吸过程

新制萃取头用甲醇活化 60m in,在萃取瓶中放入 1cm 的磁转子,所加样品为 10mL浓度为 10μg L 1的芘,用新制萃取头萃取。除特别说明外,萃取过程的搅拌速度为 250 r/m in,萃取时间和解吸时间分别为 10m in和 3m in,室温萃取;解吸溶剂为体积比为 90/10的甲醇 - 水溶液,室温解吸。

1.5 HPLC条件

用 KromasilC18反相色谱柱 (4.6 ×150mn), 流动相为甲醇 - 水溶液 (体积比 90/10),流速 0. 9mL/m in,检测波长为 240nm。

2 结果与讨论

2 1 MCM - 41和 C₂H₅ - MCM - 41产物的表征

图 1为介孔分子筛 MCM - 41和介孔复合材料 C₂ H₅ - MCM - 41的小角 X射线衍射图谱 (SAXRD)。从图上可以清晰地看到 (100), (110), (200)三个晶相峰,显示它们的孔道都具有 P6mm的六方晶相结构。图 1中 MCM - 41中各峰的强度较图 C₂ H₅ - MCM - 41中各相应峰的强度稍高,表明功能化后,乙基化试剂覆盖于孔道内壁,对 MCM - 41的孔道有一定的破坏作用,引起晶格缺陷有所增加,但依然保持了原有的有序结构;同时也说明偶联剂分子已经成功修饰了材料

孔道内表面。图 2为介孔分子筛 MCM - 41和介孔复合材料 $C_2H_5 - MCM - 41$ 的红外谱图。图 2中 1082cm ½的强吸收峰和 803cm ½的吸收峰是由于 MCM - 41骨架中的 Si - O - Si键的反对称伸缩振动和对称伸缩振动引起的,456cm ½的吸收峰对应 Si - O - Si键的弯曲振动;956cm ½的火峰是由端基 Si - OH的对称伸缩振动引起的,当键合了乙基后,2946cm 1 ,1622cm 1 吸收峰处是由于 CH_2 -的伸缩振动和弯曲振动引起的。比较图 2中 MCM - 41, $C_2H_5 - MCM - 41$,可见 957cm 1 左右的振动峰的消失,说明乙基已成功地键合到介孔分子筛 MCM - 41的孔道内。

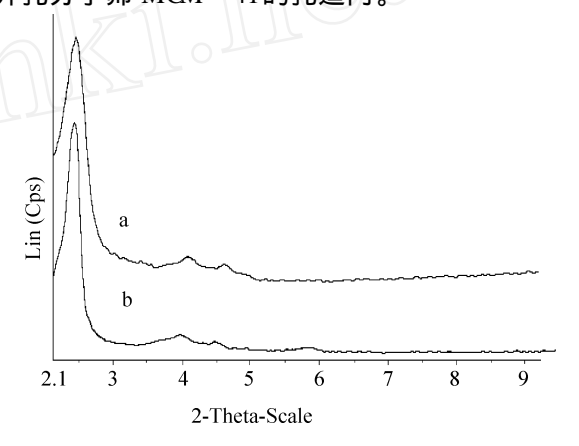


图 1 样品的 X衍射图 (a: C₂H₅ MCM-41 b: MCM-41)

Fig 1 SAXRD pattrens of samples

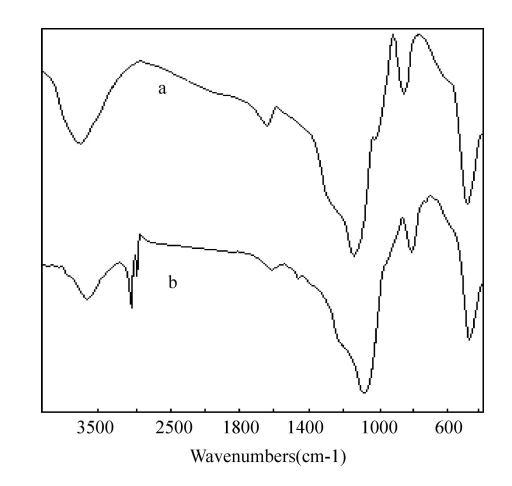


图 2 样品的红外光谱图 a: C₂ H₅ +MCM -41 b: MCM -41

Fig 2 FT - IR spectra of samples

由氮气吸附脱附实验,通过采用 BET和 BJH 公式计算出介孔分子筛 MCM-41 比表面积为 $1028m^2$. g 1 ,孔容为 $1.08cm^3$. g 1 ,而介孔复合材

料 C_2H_5 - MCM - 41的比表面积为 $762m^2$. g^{-1} ,孔 容为 $0.92cm^3$. g^{-1} 。改性后,介孔材料的比表面积 孔径和孔体积均缩小了,进一步证明乙基基团修 饰了材料孔道内表面。

利用元素分析评估了介孔材料样品中有机官能团的 C, H 的含量 (%)分别为 9. 302%, 1. 613%,说明介孔材料已成功键和乙基。利用电位滴定法 [13]评估分析介孔二氧化硅表面 Si - OH的数量。由于介孔材料比表面积大,未键合介孔二氧化硅表面 Si - OH/mmol数量为 0. 2418,用 ETTS作偶联剂对介孔二氧化硅表面进行改性后,表面 Si - OH/mmol数量下降为 0. 0221,对应有 90. 86%的表面 Si - OH与 ETTS缩合而被覆盖,使得 C₂H₃ - MCM - 41具有很强的疏水性。

2 2 萃取条件的优化

2 2 1 萃取时间对芘萃取效率的影响 在解吸时间为 3m in情况下,考察了萃取时间对芘萃取效率的影响 (图 3)。从图 3看出在 10m in - 120m in 之内萃取时间越长,萃取效率越高,分析灵敏度也越高。综合考虑分析速度和分析灵敏度,本文选择 30m in为萃取时间,此时虽未达到 SPME的平衡时间,但根据 SPME的非平衡理论,只要严格控制萃取解吸时间、温度、搅拌速度和萃取头插入深度等操作条件,分析物的萃取量与分析物在样品溶液中的初始浓度呈线形关系。

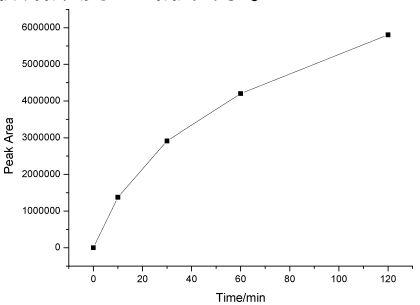


图 3 萃取时间对芘萃取效率的影响 Fig 3 Effect of extraction time on the efficiency of byrene

222 萃取温度对芘萃取效率的影响 温度对 芘萃取效率的影响,可以从两方面分析:从热力学 角度看,由于该过程为吸热过程,升高温度会减小 分析物在萃取头涂层相和水相之间的萃取效率, 缩短平衡时间。从动力学角度看,可以加快分析 物从水相扩散到萃取头上的速度,缩短平衡时间 (图 4)。图 4表明,温度从 18 升高到 45 ,萃取 效率随温度升高而增加,温度从 45 升高到 60 .萃取效率随温度升高的趋势变得缓慢,说明 快要达到萃取平衡。

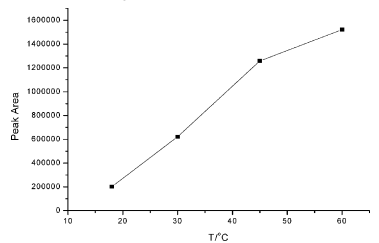


图 4 萃取温度对芘的萃取效率的影响

Fig 4 Effect of extraction temperation on the extraction efficiency of pyrene

这说明对于在萃取头涂层相与水相之间分配系数较大的芘来说,热力学因素影响较小,萃取效率主要受动力学因素影响。从图 4还可以看出,45 以后萃取量增加趋于缓慢,所以实验中选取45 为最佳萃取温度。

223 **离子强度对芘萃取效率的影响** 在本实验中,分别加入质量浓度为 30,50,60g/L 氯化钠的芘的萃取液,研究了离子强度对芘萃取效率的影响(见图 5)。结果表明:芘的萃取量随离子强度的增加而降低。这可能是由于体系对芘的萃取能力不及对氯化钠的萃取能力,因此本文的实验条件选择不加盐。

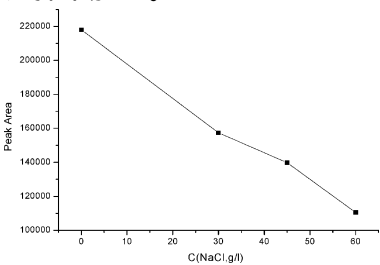


图 5 氯化钠含量对芘的萃取效率影响

Fig 5 Effect of NaCl concentraction on the extraction efficiency of pyrene

2 2 4 搅拌速度对萃取效率的影响 通常情况下,随着搅拌速度的加快,溶液中溶质分子的扩散作用加快,从而使萃取效率随之增加。在本实验中(如图 6所示),在文中(1.4)的条件下,在相对较低的搅拌速度时出现正效应,而当搅拌速度超过 1000 r/m in后,萃取效率变化降低,这可能是由于在电磁搅拌过程中,流体的剪切作用加强,使器壁附近的溶质分子扩散到涂层表面的过程受到影响,从而在加快搅拌速度下反而引起萃取效率的下降。这种趋势在不同的温度下是一致的,因而,在不考虑其它条件下,可以近似认为转速在1000 r/m in以上时,在给定萃取时间下吸附已经达到平衡。本实验中搅拌速度选择 1000 r/m in。

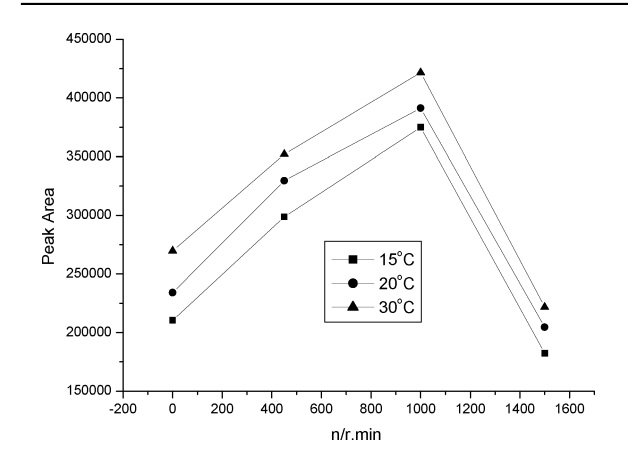


图 6搅拌速度对芘萃取效率的影响 Fig 6 Effect of stirring rate on the extraction efficiency of pyrene

225 解吸时间对芘解吸效率的影响 解吸时间对芘的解吸效率影响见图 7,从图 7中可以看出,从 0.5 min到 3 min,随着解吸时间的增长,解吸量在增加,但从 3 min到 5 min,增幅趋于缓和,可以说在 3 min时已基本解吸完全。对于不同浓度的芘,这种趋势是相同的,这可能是因为新涂层材料具有高度有序的介孔结构,可以在短时间内,比较完全的解吸。所以本实验选取 5 min作为解吸时间。

2 3 萃取的线性范围、检出限和精密度

将 10µg L 1的芘标准溶液在相同条件下平行

测定 5次,相对标准偏差为 0.035%,色谱峰面积 (Y)对芘的质量浓度 $(X, \mu_g \cdot L^{-1})$ 的线性回归方程为 Y = 31.45621 + 26351.5642X,相关系数为 0.99989,线性范围为 $0.15 \sim 150 \mu_g \cdot L^{-1}$,检出限为 $0.062 \mu_g L^{-1}$ (S/N = 3)。

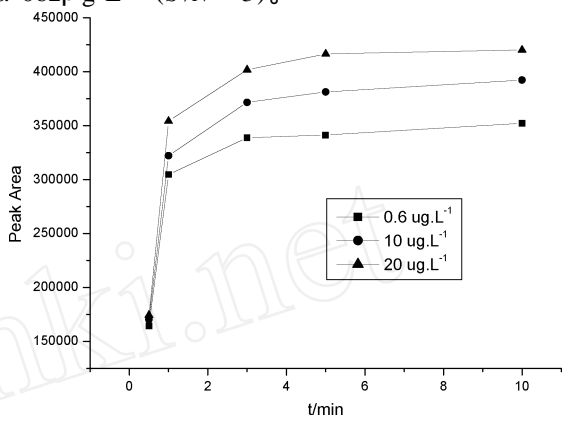


图 7解吸时间对芘解吸效率的影响 Fig 7 Effect of description time on the extraction efficiency of pyrene

2.4 实际样品测定

在优化条件下,测定了甘肃天水麦积区雨水和麦积区渭河水中芘的含量。雨水和渭河水均先用定性滤纸过滤,然后用 0.45 µm滤膜过滤。各取 10 mL水样用介孔涂层萃取,平行测定 5次,实际样品的分析结果见表 1。

表 1 实际水样分析结果 (n=5)

| Table1 | The | de te ım ination | results of | pyrene | in water | samp le s |
|--------|-----|------------------|------------|--------|----------|-----------|
|--------|-----|------------------|------------|--------|----------|-----------|

| Samp le | original (µg·L ⁻¹) | Added $(\mu g \cdot L^{-1})$ | Found $(\mu g \cdot L^{-1})$ | Recovery R/% | RSD $S_t/\%$ |
|---------|--------------------------------|------------------------------|------------------------------|--------------|----------------|
| Rain | 0. 41 | 1. 82 | 2 19 | 98. 2% | 3. 2 |
| River | 0. 92 | 1. 82 | 2 40 | 96. 4% | 2 8 |

3 结论

本文报道了复合介孔材料 C_2H_5 - MCM - 41 的合成、表征,研究了该复合介孔材料作为 SPME

参考文献:

- [1] kresge C T, Leonowicz M E, Roth W I, et al Ordered mesporous moleculiar sieves synthesized by a liquid crystal template mechanism [J]. *Nature*, 1992, 359: 710 - 712
- [2]宋春敏,阎子峰. 介孔分子筛研究新进展 [J]. 化学研究与应用,2004,16(5):601-606

涂层材料时对芘的萃取性能。结果表明,涂层材料 C_2H_5 MCM -41对环境水样中痕量芘等多环芳烃具有较高的萃取效率。将 SPME与 HPLC联用,可以方便地分析环境水样中痕量芘等多环芳烃。

- [3]李丽,薛屏.介孔分子筛在生物酶固定化中的应用[J], 化学研究与应用 2005,17(3):403-405.
- [4] Yean Sang O, Zakaria R, Mohamed A R, et al Synthesis of composite material MCM 41 / beta and its catalytic performance in waste used palm oil cracking [J]. *Applied Catalysis A: General*, 2004, 274: 15 23.

- [5] Kataoka H, Lord HL, Pawliszyn J. Applications of solid phase microextraction in food analysis [J]. J chromatogr A, 2000, 880: 35 - 62
- [6] Eisret R, Levsen K Solid phase microextraction coopled to gas chromatography: a new method for the analysis of organics in water [J]. J. Chromatogr A, 1996, 733: 143 - 157.
- [7] Arthur C. L., Pawliszyn Solid phase microextraction with thermal desorption using fused sillica optical fibers[J]. *J. Anal Chem.*, 1990, 62: 2145 2148.
- [8] Hou J. G, Ma Q, Du X Z, et al Inorganic/organic mesporous sillica as a novel fiber coating of solid phase microextraction [J]. *Talanta*, 2004, 62: 241 246
- [9] Chen J, Pawliszyn J. B. Solid phase microextraction

- coupled to high performance liquid chromatography [J]. J. Anal Chan., 1995, 67 (15): 2530 - 2533.
- [10 **戴树桂**. 环境化学 [M]. 北京,高等教育出版,1997, 318-328
- [11] Dai S, Burleigh M C, Shin Y, et al Imprint coating: a noveal synthesis of slective functionalized ordered mesoporous sorbents [J]. J. Angew Chan. Int Ed, 1999, 38 (9): 1235 - 1239.
- [12] Juan F D, Hitzky E R. Slective functionalization of mesoporous sillica J[J]. Adv Mater, 2000, 12(6): 430
 432
- [13] Khurana A L, Ho C T Determination of surface silanols of silica gels and HPLC bonded phases [J]. *J. Liquid Chromatog.*, 1988, 11 (5): 3205 3211.

Synthesis of composite mesoporous matera il $C_2 H_5$ - MCM - 41 and application in determination of trace pyrene of environmental water samples

L IU Yan, YANG Fu - wei, ZHAO Su - rui, BA I Bing - feng, WANG Xiao - fang (Tianshui biology and chemical college of normal university, Tianshui 74100, China)

Abstract: The composite mesoporous materials C_2H_5 - MCM - 41 are synthesized by multistep method, and its structure is characerized and evaluated A solid - phase microextraction (SPME) method coupled to HPLC is proposed for the determination of trace pyrene with C_2H_5 - MCM - 41 mesoporous materials as the coating of extractor. Extraction time, extraction temperation, stirring rate, ionic strength, and desorption time had been optimized. The liner range is $0.15 \sim 150 \mu \, g \cdot L^{-1}$, detection limit is $0.062 \mu \, g \cdot L^{-1}$ (S/N=3), whereas the RSD (n=5) range is 0.035%, which suggests that the sample pretreatment method of SPME is fast, convenient, recise, sensitive and solvent - free

Key words: mesoporous materials; C₂H₅ - MCM - 41; SPME; HPLC; pyrene

(责任编辑 罗 娟)